

FARKLI DAMAK ŞEKİLLERİNDE AKRİL KAİDE PLAKLARININ KIRILMA KUVVETLERİİNİN İNCELENMESİ

Yrd. Doç. Dr. Zeynep YEŞİL*

AN INVESTIGATION ABOUT FRACTURE LOADS OF DENTURE BASES IN DIFFERENT PALATAL SHAPES

ÖZET

Bu araştırmada; sıç , orta ve derin olmak üzere üç farklı damak şekli esas alınmış, bunların duplikatları çıkarılarak çalışma modelleri elde edilmiştir. Bu modeller üzerinde değişik kalınlıkta kaide plakları hazırlanmış ve bunların kırılma kuvvetleri karşılaştırılmıştır.

Sıç damaklı modellerde hazırlanan kaide plaklarının kırılma kuvvetlerinin diğerlerinden daha düşük olduğu tespit edilmiştir.

Anahtar Kelimeler: Damak şekli, Kaide pliği, Kalınlığı, Kırılma kuvveti.

SUMMARY

This study includes the patients with shallow, medium, and deep palates. The study casts were duplicated from the casts of the patients used for treatment.

Denture bases in different thicknesses were prepared on the study models, and fracture loads of the bases were compared.

It has been concluded that the fracture loads of the denture bases prepared on the casts with shallow palate were lower than those of the other two.

Key Words: Palatal shapes, Thickness of denture bases, Fracture loads.

GİRİŞ

Mesleğimizde geniş kullanım alanı olan akrilik reçinelerin, estetik ve uygulama kolaylıklarının yanı sıra zayıf mekanik özellikler göstermeleri en çok sorun yaratılan dezavantajlarından biridir.^{1,2,4,5,8-10,12,16} Bunun için akrilik kaide plaklarındaki kırılma ile prostodontistler sık sık karşı karşıya kalmaktadırlar.²

Kaide plakları altına açılan geniş rölyef sahaları, sert ve yumuşak doku andırıcıları,^{2,4,13} okluzal dengesizlikler, alveoler rezorpsiyona bağlı destek doku ile uyumsuzluklar, protezin düşürülmesi gibi travmatik olaylar,^{2-5,8,9,11} kaide plaklarındaki yorgunluklar⁴ kırıklara sebep olmaktadır.

Üst protezlerde, alt protezlere göre 2:1 oranında daha fazla tespit edilen kırıkların özellikle orta hat kırıkları ile karakterize olduğu görülmektedir.²

Morris ve arkadaşları⁵, Peyton ve Anthony¹⁰ protez iç yüzeylerinin orta hattına uygulanan aşağı yönlü kuvvetin her iki taraftaki dişler üzerine uygulanan yukarı yönlü kuvvette eş değer olduğunu ve bunun üst protezlerde yeterli bir kompresyon testi olup, eğrilme gücüne tayininde kullanılabilceğini belirtmişlerdir.

Çalışmamızın amacı, farklı damak şekillerinde hazırlanan değişik kalınlıklardaki akrilik kaide plaklarının kırılma kuvvetlerinin incelenmesidir.

MATERIAL ve METOD

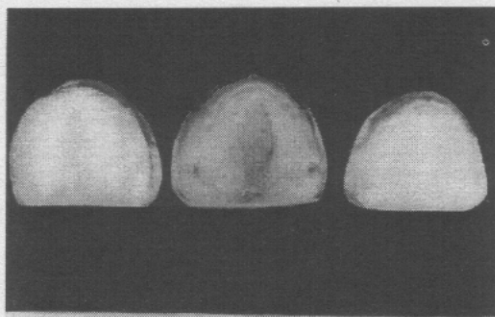
İnvitro olarak yürütülen çalışmamızda; sıç (5mm- 9mm arası), orta (10 mm- 15mm arası) ve derin (16mm- 20mm arası) olmak üzere üç farklı damak şekline sahip üst çene modelleri kullanılmış ve bunların herbirinden 15'er adet olmak üzere toplam 45 model sert alçı (Bego Bremer Gold Sclagerei Herbst GmbH Co. Emil-Sommer Bremen)dan hazırlanmıştır (Resim 1).

Herbir damak şeklärinden beş model tek tabaka, beş model iki tabaka, geriye kalan beş model ise üç tabaka mum ile şekillendirildikten sonra bu mumlar, QC- 20 (De Trey, England) pembe sıcak akriliği ile imalatçı firmamın önerileri doğrultusunda bilinen yöntemlerle kaide plaklarına dönüştürülmüştür.

45 adet kaide plığı; 1) orta hatta , 2) birinci küçük ağız bölgesinde 3) ikinci büyük ağız bölgesinde ve 4) anterior bölgede ölçülmüş ve kalınlıklar hesaplanmıştır.

Rutin yöntemlerle tesviyesi yapılan kaide plakları, kırılma işlemine tabi tutuluncaya kadar 48 saat süre ile $37 \pm 1^{\circ}\text{C}$ sıcaklığı sahip distile suda bekletilmiştir.

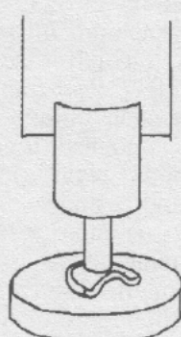
* Yrd. Doç. Dr. Atatürk Üniv. Diş Hek. Fak. Protetik Diş Tedavisi Anabilim Dalı



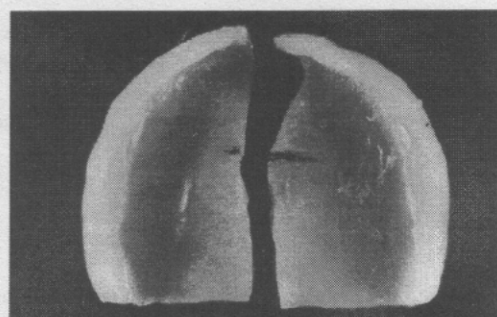
Resim 1. Kaide plaklarının hazırlanmasında kullanılan üst çene modelleri.

Kırılma kuvvetlerinin ölçülmesi amacı ile Housefield'in çekme-sıkıştırma makinası kullanılmıştır. Aletin alt tablasına hazırlanan akril kaide plağı, doku yüzeyi yukarı gelecek şekilde yerleştirilip, bu yüzeyde iki taraflı birinci küçük ağız ve birinci büyük ağızın orta noktasının orta hatla kesiştiği bölgeye, aletin üst koluna monte edilen 5mm çaplı silindirik çubuk ile 5mm/dakika'lık hızla basınç uygulanmıştır^{7,8} (Resim 2). Elde edilen değerler Newton cinsinden okunarak kaydedilmiş, sonra kilograma çevrilmiştir (Resim 3).

Biometrik değerlendirme için varyans analizi kullanılmış, ortalama ve standart sapmalar hesaplanmıştır.



Resim 2. Kuvvet uygulama şekli (Şematik olarak).



Resim 3. Kuvvet uygulanmış bir kaide plağı.

BULGULAR

Sonuçların değerlendirilmesinde kullanılan varyans analiz sonuçları Tablo I'de gösterilmiştir.

Analiz sonuçları; damak şekli ve kaide plağı kalınlığının kırılma kuvvetini önemli ölçüde etkileyebileceğini göstermiştir ($p<0.001$).

İncelenen faktörlere ait ortalama, standart sapma ve LSD testi sonuçları Tablo II'de gösterilmiştir.

Yapılan çoklu karşılaştırma (LSD) testinde şu sonuçlar elde edilmiştir:

-Bir, iki ve üç tabaka mumla hazırlanan akril kaide plaklarının kırılma kuvvetleri, birbirinden istatistiksel olarak farklı bulunmuştur ($p < 0.001$).

-Sığ damak yapısına sahip modellerde hazırlanan kaide plaklarının kırılma kuvvetlerinin diğerlerinden farklı olduğu tesbit edilmiştir.

-Orta ve derin damaklı modellerde hazırlanan kaide plaklarının kırılma kuvvetlerinin ise birbirine yakın olduğu saptanmıştır.

Tablo I. Varyans analizi tablosu.

| Varyasyon Kaynakları | S.D. | K.T. | K.O. | F |
|-----------------------------|------|--------|-------|--------------|
| Kaide Plağı Kalınlığı (KPK) | 2 | 108126 | 54063 | 2.7 E+0.4*** |
| Damak Şekli (DŞ) | 2 | 100645 | 50323 | 2.5 E+0.4*** |
| İnteraksiyonlar | | | | |
| KPKxDŞ | 4 | 8022 | 2005 | 987.94*** |
| Hata | 36 | 73 | 2 | |

*** : $p<0.001$

Tablo II. İncelenen faktörlere ait örnek sayısı, ortalama, standart sapma ve LSD testi sonuçlarını gösteren tablo.

| | Sığ | | | Orta | | | Derin | | | | | |
|---------|--------------|---------------------|-----------|--------------|----------------------|-----------|--------------|----------------------|-----------|--------------|--------------------|-----------|
| | Örnek Sayısı | Ortalama * (kg.) | St. Sapma | Örnek Sayısı | Ortalama* (kg.) | St. Sapma | Örnek Sayısı | Ortalama* (kg.) | St. Sapma | Örnek Sayısı | Ortalama* (mm.) | St. Sapma |
| Bir Kat | 5 | 56.326 | 0.63717 | 5 | 123.654 | 0.63717 | 5 | 113.260 | 0.63717 | 15 | 1.753 ^c | 0.01605 |
| İki Kat | 5 | 82.590 | 0.63717 | 5 | 126.260 | 0.63717 | 5 | 197.580 | 0.63717 | 15 | 3.153 ^b | 0.01605 |
| Üç Kat | 5 | 145.984 | 0.63717 | 5 | 260.960 | 0.63717 | 5 | 244.200 | 0.63717 | 15 | 4.04 ^a | 0.01605 |
| | 15 | 95.300 ^b | 0.36787 | 15 | 203.625 ^a | 0.36787 | 15 | 185.013 ^a | 0.68787 | | | |

* Bir ana faktörde farklı hanelle gösterilen ortalamalar arasındaki fark istatistiksel olmamaktadır.

TARTIŞMA

Smith¹⁴ sığ ve düz kret şeşinin kırılma ile neticelenen büyülmeye müsait olduğunu, bundan dolayı direnç sağlayan metal kaide plağı gerektirdiğini ifade etmektedir.

Morris ve arkadaşları⁸ çalışmaları sonucunda sığ damaklardaki kaide plaklarının kırılma kuvvetinin daha az buna karşılık, orta ve derin damaklardaki kaide plaklarının kırılma kuvvetlerinin ise birbirine yakın olduğunu saptamışlardır.

Farklı üst damak yapılarında takviyelendiği ve takviyelendirilmemiş akril kaide plaklarının kırılma kuvvetlerini inceleyen Karaağaçlıoğlu ve arkadaşları⁷ sığ damaklardaki kırılma kuvvetlerinin, orta ve derin damaklardan kaynaklı kırılma kuvvetlerinin ise birbirine yakın olduğunu tespit etmişlerdir.

Bizim çalışmamızda da sığ damaklardada hazırlanan kaide plaklarının kırılma kuvvetleri, orta ve derin damaklardada hazırlananlardan düşük bulunmuştur. Ortalama ve derin damaklardaki kaide plaklarının kırılma kuvvetlerinin ise birbirine yakın olduğunu tespit edilmiştir. Bu sonuçlar yukarıdaki araştırmacıların bulguları ile uyum göstermektedir.

Çalışmamızda bir kat mumla hazırlanan kaide plaklarının, iki yada üç kat mumla hazırlanan kaide plaklarından daima daha küçük kuvvetlerde kırıldığı saptanmıştır. Bu sonuç aşağıdaki araştırmacıların bulguları ile uyum göstermektedir.

Morris ve arkadaşları⁸ kaide plağı kalınlığındaki azalmanın kırılma direncini azaltacağını belirtmişlerdir.

Farmer⁴ kaide plağı kalınlığının 2 mm. den az olmamasının kırık insidansını azaltacağını ifade etmiştir.

Beyli ve Von Fraunhofer,² Smith¹⁵ üst keserlerin palatalindede stres birikiminin fazla olduğunu belirtmişlerdir. Bizim yaptığımiz çalışmada da orta hatta oluşan kırık, keserlerin palataline rastlayan bölgede kaide plağının üçe bölünmesine neden olmuştur. Bu sonuç yukarıdaki araştırmacıların görüşleri ve Morris ve arkadaşlarının⁸ bulguları ile uyum göstermektedir.

SONUÇ

Çalışmamızda, sığ damaklarda hazırlanan kaide plaklarının kırılma kuvvetlerinin diğerlerinden daha düşük olduğu saptanmıştır. Kaide plağı kalınlığının artırılmasının sığ damaklarda da kırılma kuvvetini artırmamasına karşın çok kalın kaide plağı klinik olarak kabul edilmez. Kalınlığı artırmak yerine, sığ damaklarda metal kaide plakları kullanılması tavsiye edilmektedir.

KAYNAKLAR

1-Belfiglio EJ. Using metal bases in making complete dentures. J Prosthet Dent 1987;58(3):314-7.

2-Beyli MS, Von Fraunhofer JA. An analysis of causes of fracture of acrylic resin dentures. J Prosthet Dent 1981;46(3):238-40.

3-Çalikkocaoglu S. Tam Protezler. Cilt II, İstanbul, 1988:92-5

4-Farmer JB. Preventive prosthodontics: Maxillary denture fracture. J Prosthet Dent 1983;50 (2):172-5.

5-Hargreaves AS. The prevalence of fractured dentures. A survey. Br Dent Jour 1969;20:451-55.

6-Johnston EP, Nicholls JI, Smith DE. Flexure fatigue of 10 commonly used denture base resins. J Prosthet Dent 1981;46(5):478-83.

7-Karaağaçlıoğlu L, Türköz Y, Bilir ÖG. Farklı üst damak yapılarında takviyelendiği ve takviyelendirilmemiş akril kaide plaklarının kırılma kuvvetlerinin incelenmesi. Ank Üniv Dış Hek Fak Derg 1988;15 (3):249-54.

8-Morris JC, Khan Z, Von Fraunhofer JA. Palatal shape and the flexural strength of maxillary denture bases. J Prosthet Dent 1985;53(5):670-73.

9-Nimmo A, Kratochvil FJ. Preventing fractures of maxillary overdentures. J Prosthet Dent 1986; 55 (6):773-75.

10-Peyton FA, Anthony DH. Evaluation of dentures processed by different technique. J Prosthet Dent 1963;13(2):269-72.

11-Phillips RW. Skinner's Science of Dental Materials, Sevent ed, WB. Saunders Co, Philadelphia, 1973:178-97.

12-Ruffino AR. Effect of steel strengtheners on fracture resistance of the acrylic resin complete denture base. J Prosthet Dent 1985;54(1):75-80.

13-Schneider RL. Diagnosing functional complete denture fractures. J Prosthet Dent 1985;54(6):809-14.

14-Smith DC. The fatigue fracture of acrylic dentures. Br Dent Jour 1961;110:251.

15-Smith DC. The acrylic denture-mechanical evaluation of mid-line fracture. Br Dent Jour 1961;110:257.

16-Yazdanie N, Mahood M. Carbon fiber acrylic resin composite: An investigation of transvers strength. J Prosthet Dent 1985;54(4):543-7.

Yazışma Adresi

Atatürk Üniversitesi
Diş Hekimliği Fakültesi
Protetik Diş Hastalıkları
Anabilim Dalı
ERZURUM